

## بررسی ارتباط miR34c، miR15b، کیفیت پارامترهای اسپرمی و میزان شکست

### DNA اسپرم در افراد نابارور اولیگو آستنو تراتوزو اسپرمی

فاطمه دهقانی<sup>۱</sup>، فاطمه توحیدی<sup>۱</sup>، راحیل جتی فر<sup>۲</sup>

۱- استادیار گروه ژنتیک، دانشکده علوم پایه، موسسه آموزش عالی آل طه، تهران، ایران.

۲- مربی بخش تحقیقات، گروه بیولوژی تولید مثل، مرکز جهاد دانشگاهی، قم، ایران. نویسنده مسئول: rahiljanati2016@gmail.com

تاریخ دریافت: ۱۴۰۲/۰۵/۳۱

تاریخ پذیرش: ۱۴۰۲/۰۶/۲۵

#### چکیده

**زمینه و هدف:** miRNA ها نقش مهمی فرایندهای مختلف پاتوفیزیولوژیک در سلولها و کنترل فرایند آپوپتوز در اسپرم دارند. هدف این پژوهش بررسی ارتباط بیان miR34c و miR15b های، کیفیت پارامترهای اسپرمی و میزان شکست DNA اسپرم در افراد نابارور اولیگو آستنو تراتوزواسپرمی می باشد.

**مواد و روش ها:** این مطالعه بر روی ۲۵ بیمار دارای اولیگو آستنو تراتوزواسپرمی که به مرکز درمان ناباروری جهاد دانشگاهی قم مراجعه کرده بودند انجام شد. ۲۵ نفر از افراد بارور هم به عنوان گروه کنترل انتخاب شده اند. بعد از جمع آوری نمونه های اسپرمی، پارامترهای اسپرمی بر اساس سازمان بهداشت جهانی (WHO2010) آنالیز شدند. میزان شکست DNA اسپرم با استفاده از تکنیک (SCD) بررسی شد. میزان بیان miR34c و miR15b با استفاده از تکنیک Rael-time PCR اندازه گیری شد.

**نتایج:** طبق نتایج به دست آمده پارامترهای اسپرمی از جمله غلظت، تحرک و مورفولوژی اسپرم در افراد نابارور اولیگو آستنو تراتوزواسپرمی نسبت به افراد بارور کاهش معنی داری را نشان می دهد ( $P < 0.05$ ) و میزان شکست DNA اسپرم در افراد اولیگو آستنو تراتوزواسپرمی افزایش معنی داری داشت ( $P < 0.05$ ). آزمون همبستگی مشخص کرد که بین متغیرهای اسپرم شامل غلظت، تحرک، مورفولوژی نرمال، میزان شکست DNA اسپرم و میزان بیان miR34c و miR15b همبستگی معنی داری وجود دارد.

**نتیجه گیری:** یافته های ما نشان داد که بین بیان miR34c، miR15b، پارامترهای اسپرمی و سلامت DNA اسپرم ارتباط معنی داری وجود دارد. در واقع این نتایج می تواند بینش جدیدی برای تشخیص ناباروری مردان در سطح مولکولی ارائه کند.

**کلمات کلیدی:** miR15b، miR34c، اسپرم، اولیگو آستنو تراتوزواسپرمی

## مقدمه

ناباروری یکی از موضوعات اساسی و نگرانی‌های این روزهای جوامع بین‌المللی است. طبق تعریف سازمان بهداشت جهانی (WHO)، ناباروری عبارت است از «عدم باروری موفقیت آمیز یک زوج که در طی یک سال از نظر جنسی و بدون انجام اقدامات پیشگیرانه فعال بودند» (۱). حدود ۱۵ درصد از تمام زوج‌ها نابارور هستند و به دنبال راه درمانی برای این مسئله هستند. ۵۰ درصد ناباروری‌ها با یک عامل مرتبط با ناباروری مردانه، و پارامترهای غیرطبیعی مایع منی همراه است (۲). علل شناخته شده ناباروری مردان عبارتند از: ناهنجاری‌های مادرزادی یا اکتسابی دستگاه تناسلی، بدخیمی‌ها، عفونت‌های دستگاه ادراری تناسلی، افزایش دمای کیسه بیضه، اختلالات غدد درون ریز، عوامل ایمنی و برخی ناهنجاری‌های ژنتیکی. در زمینه اپی‌ژنتیک مطالعات بسیاری در زمینه MicroRNAها و تاثیرات آنان بر باروری انجام شده است (۳). MicroRNA (mir) مولکولهای RNA تنظیمی کوچکی به طول ۱۹-۲۲ نوکلئوتید هستند که در تنظیم انواع فرایندهای متابولسمی بدن از جمله اسپرماتوژنز دخالت دارند (۴). در مطالعات مختلفی بسیاری از mirRNAها که مسئول تنظیم مراحل مختلف اسپرماتوژنز بوده‌اند، شناسایی شده‌اند. بدیهی است که mirRNAها در اسپرم سازی نقش دارند و وجود یا عدم وجود آنها در اسپرم بالغ می‌تواند بیانگر رشد نابجا، عملکرد و یا ناباروری در افراد باشد (۵). خانواده miR34، از ۳ رونوشت همولوگ تشکیل شده است miR34a، miR34b و miR34c این خانواده به عنوان سرکوبگرهای تومور شناخته شده‌اند زیرا آنها اهداف مستقیم ژن p53 سرکوبگر تومور هستند (۶). اگرچه miR34a در تمام بافتهای بدن انسان بیان میشود، miR34b/c در زیر مجموعه کوچکی از بافتها، به ویژه غدد جنسی شناسایی می‌شود (۷). طبق این مطالعات سطح

بیان miR34b در اسپرماتوزوا و همچنین در اسپرماتوسیت افزایش پیدا میکند. سطح بیان miR34b/c در منی و اسپرم، با ناباروری مردان مرتبط است (۸). ابرخانواده miR ۱۵ از هشت عضو تشکیل شده است که به طور بالقوه از یک جد مشترک تکامل یافته‌اند. دو خوشه miR15/16 به نام‌های miR15/16a و miR15/16b در پستانداران شناسایی شده‌اند که هر دو آنها در بین گونه‌های پستانداران بسیار حفاظت شده بودند (۹). miR15b، یک عضو خانواده miR ۱۶/۱۵ است که نقش مهمی در اسپرم زایی دارد (۱۰). مطالعات بیانگر این موضوع است که miR15b به طور مکرر در بیوپسی بیضه بیماران مبتلا به نارسایی اسپرم زایی دچار اختلال میشود (۱۰). در این مطالعه ما به بررسی ارتباط میان میزان بیان miR-34c و miR-15b های، کیفیت پارامترهای اسپرمی و میزان شکست DNA اسپرم در افراد نابارور اولیگو آستنو تراتوزواسپرمی می‌پردازیم.

## مواد و روش‌ها

در این پژوهش نمونه مایع منی ۲۵ فرد الیگو آستنو تراتوزواسپرمی که برای درمان به مرکز ناباروری جهاد دانشگاهی قم مراجعه کرده و ناباروری آنها توسط ارولوژیست تایید شده بود، با رضایت شخصی جمع‌آوری گردید. معیار سنجش افراد الیگو آستنو تراتوزواسپرمی براساس سازمان جهانی بهداشت (WHO-2010) (۱۱) بررسی شد. ۲۵ فرد بارور به عنوان گروه کنترل انتخاب شدند. مایع منی افراد گرفته شده و به مدت ۳۰ دقیقه داخل انکوباتور ۳۷ درجه قرار داده شد تا از حالت ژالتینی خارج شود و به فرم مایع تبدیل شود. افراد دارای واریکوسل، سابقه جراحی واریکوسل، افراد با سابقه شیمی درمانی، مصرف داروی خاص، دارای مشکلات آناتومیک، آزو اسپرمی، درمان با مهارکننده‌های آروماتاز یا آنتی استروژن از مطالعه حذف شدند. به منظور انجام این آزمایش ابتدا پارامترهای اسپرمی،

قبل با آگاروز ۰/۶۵ درصد پوشیده شده، قرار گرفت و با گذاشتن یک لامل روی آن، به مدت ۴ دقیقه در دمای ۴ درجه سانتیگراد گذاشته شد. سپس با دقت لامل از سطح لام جدا شده و هرلام به صورت افقی در محلول اسید کلریدریک ۰/۰۸ نرمال به مدت ۷ دقیقه در دمای اتاق و در تاریکی قرار داده شد و در درجه حرارت اتاق، به مدت ۱۰ دقیقه در محلول های تجزیه کننده قرار داده شد و سپس شستشو شد و به ترتیب در الکل ۷۰، ۹۰، و ۱۰۰ درصد هرکدام به مدت ۲ دقیقه آنگیری شده و بعد از خشک شدن، با محلول رنگ دیفکوئیک رنگ آمیزی شد و توسط میکروسکوپ نوری بررسی شد. با استفاده از این روش می توان میزان فراگمانتاسیون DNA را با توجه به وجود هاله اطراف هسته و اندازه آن بررسی نمود. در اسپرمهای با فراگمانتاسیون DNA هسته اسپرم با هاله کوچک و بدون هاله) و بدون فراگمانتاسیون DNA هسته اسپرم با هاله بزرگ و هاله متوسط) تعیین می شود. جهت بررسی فراگمانتاسیون DNA تعداد ۲۰۰ سلول شمارش گردید.

### استخراج miRNA

برای لیز سلول اسپرم به تیوب نمونه میزان ۴۰۰ میکرولیتر ترایزول و ۱۰ میکرولیتر بتا مرکاپتواتانول به ۱ میلی لیتر از مایع منی اضافه شد. ویال به آرامی سر و ته شده و به مدت ۱۰ دقیقه زیر هود در دمای اتاق قرار داده شد تا غشای سلولها لیز شوند. محتویات ویال را به ستون دارای فیلتر، در ستون استخراج RNA منتقل کرده و سپس به مدت ۱ دقیقه با دور rpm ۱۱۰۰۰ سانتریفیوژ شد. مایعات عبور کرده از فیلتر که در کف لوله جمع آوری تجمع یافته بود، کاملاً دور ریخته شد. ۴۰۰ میکرولیتر از محلول GW1 به فیلتر اضافه گردیده و با دور rpm ۱۱۰۰۰ به مدت ۱ دقیقه سانتریفیوژ شد و مایع تجمع یافته در لوله جمع آوری و دور ریخته شد. ۷۵۰ میکرولیتر از بافر RNW به فیلتر اضافه گردید و سپس با دور

میزان آسیب DNA اسپرم بین گروه بیمار و کنترل اندازه گیری شد. سپس با کمک روش Real Time PCR به بررسی میزان بیان miR34c و miR15b در نمونه منی افراد بیمار و کنترل پرداختیم و در نهایت ارتباط میان این میزان بیان این miRNA ها، پارامترهای اسپرمی و میزان سلامت DNA اسپرم مورد بررسی قرار گرفت.

### بررسی پارامترهای اسپرمی

جهت بررسی پارامترهای اسپرمی (غلظت، تحرک و مورفولوژی) با استفاده از میکروسکوپ نوری و بر اساس سازمان استاندارد جهانی (۲۰۱۰) صورت گرفت (۱). شمارش اسپرم ها از بر حسب میلیون بر لیتر توسط لام نئوبار انجام شد. بررسی میزان تحرک اسپرم ها بر اساس (WHO2010) اندازه گیری شد. درصد تحرک کل اسپرمی باید کمتر از ۴۰٪ و حرکت پیشرونده (a+b) کمتر از ۳۲٪ باشد. برای بررسی مورفولوژی نرمال اسپرم ها از روش رنگ آمیزی پاپانیکولا استفاده شد. در رنگ آمیزی پاپانیکولا، سر به رنگ آبی و قطعه میانی به رنگ قرمز یا صورتی در می آید. جهت بررسی مورفولوژی اسپرم، ابتدا از هر نمونه گسترش تهیه شد. سپس به صورت یکجا رنگ آمیزی پاپانیکولا انجام شد. برای هر نمونه، یک لام فیکس شده از اسپرم تهیه می شود. پس از رنگ آمیزی ۱۰۰ اسپرم توسط میکروسکوپ نوری با بزرگنمایی X100 بررسی شد.

### بررسی شکست DNA اسپرم

روش بررسی سلامت DNA اسپرم شامل تست سنجش پراکندگی کروماتین اسپرم (SCD) است. ارزیابی فراگمانتاسیون DNA به روش (Sperm Chromati Dispersion) انجام شد. بر طبق روش Fernandez مقدار ۳۰ میکرولیتر از نمونه اسپرمی آماده شده با ۷۰ میکرولیتر از آگاروز با درجه ذوب پایین در دمای ۳۷ درجه سانتیگراد مخلوط شد. سپس نمونه مخلوط شده بر روی لامی که از

حاوی RNA بوده و پس از بستن درب ویال، با استفاده از پارافیلیم درب ویال مسدود و ویال به فریزر ۷۰- درجه سانتی-گراد منتقل گردید.

### انجام qRT-PCR

مطالعه فراوانی بیان miR15b و miR34c با پرایمرهای اختصاصی با روش quantitative Real-time PCR با استفاده از دستگاه کیا ژن انجام شد توالی پرایمرها در جدول ۱ آورده شده است. در این پژوهش با کمک پلتفرم NCBI پرایمرهای forward و reverse برای هر کدام از miRNAهای مدنظر طراحی شد.

۱۱۰۰۰ rpm به مدت ۱ دقیقه سانتریفیوژ شد و مایع تجمع-یافته در لوله جمع آوری و دور ریخته شد. مجدداً سانتریفیوژ با دور rpm ۱۱۰۰۰ به مدت ۲ دقیقه انجام شده و بار دیگر مایع تجمع یافته در لوله جمع آوری و دور ریخته شد. ستون استخراج، به میکروتیوب ۱/۵ میلی لیتری استریل و عاری از RNase منتقل گردید. مقدار ۳۰ میکرولیتر، آب عاری از RNase داخل ستون ریخته شد. پس از یک دقیقه فیلتر به-طور کامل از آب اشباع می شود. سانتریفیوژ با دور rpm ۱۱۰۰۰ به مدت ۱ دقیقه انجام شد تا RNA متصل شده به فیلتر به طور کامل شسته شده و از فیلتر جدا و در کف میکروتیوب ۱/۵ میلی لیتر تجمع یابد. مایع تجمع یافته در ته ویال، تنها

جدول ۱: توالی پرایمرهای طراحی شده

primer		Sequence (5'→3')	Length	Tm
U6	Forward	TGCTTCGGCAGCACATATAC	19	59.93
	Reverse	AGGGGCCATGCTAATCTTCT	19	58.45
miR15b	Forward	AGGCATAGCAGCACATAATG	22	59.48
	Reverse	GAGCAGGGTCCGAGGT	22	59.02
miR34c	Forward	AGGCAGTGTAGTTAGC	22	53.76
	Reverse	GTGCAGGGTCCGAGGT	22	56.79

پاپانیکولار انجام شد و تفاوت معنا داری بین بیمار و کنترل نشان داد ( $P < 0.05$ ) (شکل ۱). در واقع میزان مورفولوژی نرمال در بیماران با کاهش معناداری همراه بود. بررسی شکستگی DNA اسپرم با تست SCD انجام شد و نتایج بیانگر افزایش قابل توجه در میزان شکستگی DNA اسپرم در بیماران الیگوآستوتراتوزواسپرمی نسبت به گروه کنترل بود ( $P < 0.05$ ) (شکل ۲) (جدول ۲).

### نتایج

#### بررسی پارامترهای اسپرمی

بررسی تعداد اسپرم (غلظت اسپرم) بیانگر تفاوت معنی داری بین گروه بیمار و کنترل بود ( $P < 0.05$ ) و کاهش معناداری در گروه بیمار وجود داشت. همچنین میزان تحرک کلی و پیشرونده اسپرم نیز بین بیمار و کنترل متفاوت بود ( $P < 0.05$ ) و میزان تحرک در بیماران کاهش معناداری داشت. بررسی مورفولوژی اسپرم با کمک رنگ آمیزی

جدول ۲: مقایسه پارامترهای اسپرمی بین گروه کنترل و بیماران اولیگو آستنوتراتوزواسپرمی

P-value	کنترل	بیمار	فاکتور اندازه گیری شده
$P > 0.05$	$3/02 \pm 1/32$	$3/58 \pm 0/88$	حجم (ml)
$P < 0.05$	$74/06 \pm 6/51$	$10/2 \pm 5/80$	غلظت اسپرمی ( $\times 10^6$ )
$P < 0.05$	$55/18 \pm 2/91$	$36/42 \pm 3/20$	تحرك كل اسپرمی (%)
$P < 0.05$	$34/54 \pm 2/63$	$20/60 \pm 1/81$	تحرك پیشرونده اسپرمی (a+b) (%)
$P < 0.05$	$21/00 \pm 1/09$	$16/10 \pm 1/76$	تحرك غیر پیشرونده اسپرمی (%)
$P < 0.05$	$45/82 \pm 1/17$	$63/00 \pm 2/11$	اسپرم های غیر متحرك (%)
$P < 0.05$	$6/53 \pm 1/457$	$1/96 \pm 0/02$	درصد مورفولوژی نرمال اسپرم (%)
$P < 0.05$	$10/1 \pm 7/80$	$32/42 \pm 3/20$	درصد شکست DNA اسپرم (%)



الف



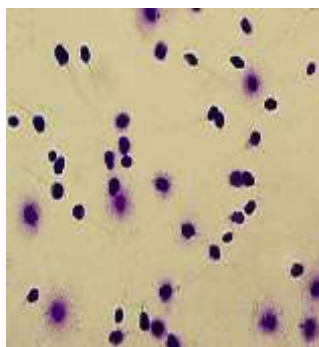
ب

شکل ۱: بررسی میزان مورفولوژی طبیعی اسپرم با رنگ آمیزی پاپانیکولا (میکروسکوپ نوری Olympus cx21 بزرگنمایی Objective 1000). الف: گروه اولیگو آستنوتراتوزواسپرم، ب: گروه کنترل

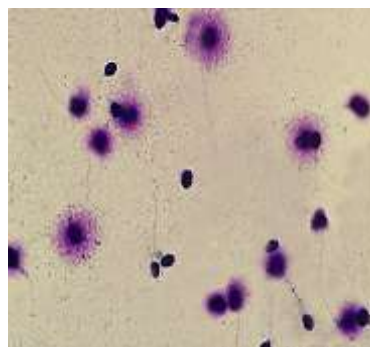
الیگو آستنوتراتوزواسپرمی به شکل چشم گیری افزایش پیدا کرده است ( $P < 0.05$ ) (نمودار ۱). همچنین میزان بیان miR34c در بیماران الیگو آستنوتراتوزواسپرمی نسبت به گروه کنترل به شکل معناداری کاهش پیدا کرده است ( $P < 0.05$ ) (نمودار ۲).

### بررسی بیان miR34c و miR15b

در این پژوهش میزان بیان miR34c و miR15b نیز بین بیمار و کنترل به کمک تست Real Time PCR مورد بررسی قرار گرفت. میزان بیان هر دو miR بین بیماران الیگو آستنوتراتوزواسپرمی و گروه کنترل تفاوت معناداری داشت ( $P < 0.05$ ). میزان بیان miR15b در بیماران

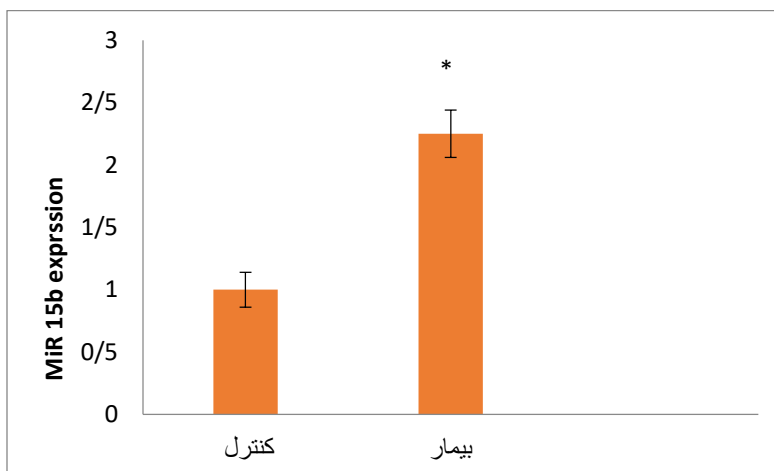


الف



ب

شکل ۲: شکل قطعه قطعه شدن DNA اسپرم براساس تشکیل هاله در گروه‌های مختلف- تست SCD بررسی توسط میکروسکوپ نوری Olympus cx21 بزرگنمایی 1000X. الف: گروه بیمار آستنوترا توواسپرم. ب: گروه کنترل. هسته اسپرم با هاله بزرگ ( بدون قطعه‌قطعه شدن DNA)، هسته اسپرم با هاله کوچک ( دارای قطعه‌قطعه شدن DNA) و هسته اسپرم بدون هاله (دارای DNA با آسیب شدید) است.



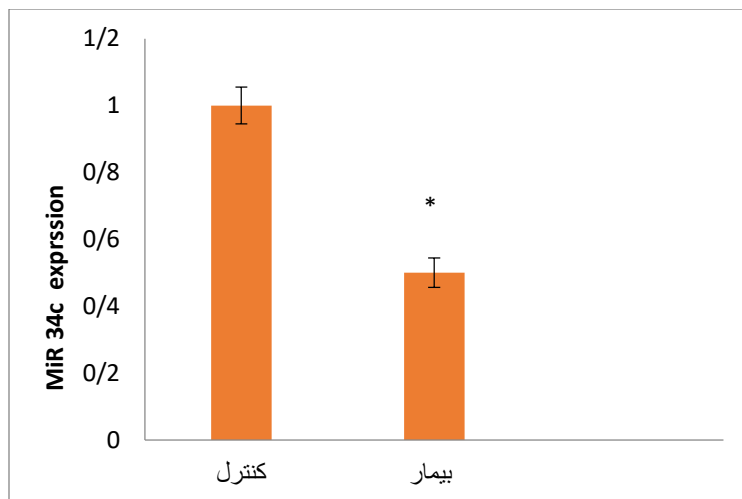
نمودار ۱: مقایسه میزان بیان miR15b در بیماران الیگو آستنوترا توواسپرمی و گروه کنترل

شکست DNA و میزان بیان miR34c همبستگی غیرمستقیم وجود دارد. نتایج این مطالعه همچنین نشان داد که بین پارامترهای اسپرمی (غلظت، تحرک و هورفولوژی نرمال) و میزان بیان miR15b ارتباط غیرمستقیم و ین میزان شکست DNA و میزان بیان miR15b همبستگی وجود دارد (جدول ۳).

بررسی ارتباط میان پارامترهای اسپرمی و میزان بیان miR15b و miR34c در مردان اولیگو آستنوترا توواسپرم

آزمون همبستگی پیرسون مشخص کرد که بین متغیرهای اسپرم شامل غلظت، تحرک و هورفولوژی نرمال و میزان بیان miR34c همبستگی از نوع مستقیم وجود دارد بین میزان





نمودار ۲: مقایسه میزان بیان miR34c بین بیماران الیگوانتوتراتوزواسپرمی و گروه کنترل

جدول ۳: ارتباط بین میزان بیان miR34c و miR15b با پارامترهای اسپرمی و شکست DNA اسپرم

miR34c		miR15b		پارامترها	
p	r	P	r		
۰/۰۳	۰/۳۵۵	۰/۰۳	-۰/۳۷۵	بیمار	غلظت اسپرم (۱۰ <sup>۶</sup> )
۰/۰۴	۰/۳۲۷	۰/۰۱	-۰/۳۵۹	کنترل	
۰/۰۳	۰/۳۳۲	۰/۰۴	-۰/۴۸۸	بیمار	تحرك اسپرم (%)
۰/۰۱	۰/۳۷۶	۰/۰۲	-۰/۴۰۵	کنترل	
۰/۰۵	۰/۳۰۳	۰/۰۳	-۰/۴۰۵	بیمار	مورفولوژی اسپرم (%)
۰/۰۳	۰/۳۳۴	۰/۰۱	-۰/۳۹۲	کنترل	
۰/۰۵	-۰/۳۹۹	۰/۰۷	۰/۴۰۱	بیمار	میزان آسیب (DNA) (%)
۰/۰۳	-۰/۳۷۲	۰/۰۴	۰/۳۷۲	کنترل	

گرفت و مشخص شد که بین تمامی این پارامترها در بیماران و کنترل تفاوت معناداری وجود دارد. در واقع میزان تحرك اسپرم، و مورفولوژی نرمال در بیماران نابارور الیگوانتوتراتوزواسپرمی کاهش پیدا کرده بود. شواهد به دست آمده در این پژوهش نشان می‌دهد که میزان بیان miR15b در بیماران به طرز معناداری افزایش پیدا کرده و میزان بیان miR34c کاهش پیدا کرده است. در این آزمایش

## بحث

در این مطالعه مشخص شد که میانگین تعداد اسپرم بین گروه بیماران الیگوانتوتراتوزواسپرمی و گروه کنترل تفاوت معناداری وجود دارد. این پارامتر در بیماران با کاهش قابل توجهی همراه بود. درصد تحرك اسپرم، میزان مورفولوژی نرمال از دیگر پارامترهایی بود که بین گروه بیماران الیگوانتوتراتوزواسپرمی و گروه کنترل مورد بررسی قرار



این مسئله مشخص شد که بین میزان بیان این *miR* ها و پارامترهای اسپرمی ارتباط معنی داری وجود دارد. در مطالعه ای مشخص شده است که *microRNA*ها با تنظیم بیان ژن در اپیدیدم بر تنظیم بلوغ و ذخیره اسپرم تاثیرگذار است (۱۲). در واقع مشخص است که حذف *microRNA*ها منجر به کاهش بیان ژنهای دخیل در اسپرماتوژنز شده و موجب کاهش بلوغ اسپرم، تغییر پروفایل غشایی آن و در نهایت ناباروری را به دنبال دارد (۱۳). در مطالعه ای اثر *miR17-92* مورد بررسی قرار گرفت و مشخص شد که سرکوب این *microRNA* موجب افزایش بیان *bim, kit, socs3, stste3* میشود. این قبیل ژن ها سلول های اسپرماتوگونی را در حالت تمایز نیافته متوقف میکنند و موجب کوچکتر شدن بیضه و کاهش تعداد اسپرم میشوند (۱۴).

در مطالعه ای اثر مستقیم *mir 34b/499* مورد بررسی قرار گرفت و مشخص شد با حذف اثر این *microRNA* تعداد اسپرم و مورفولوژی نرمال آن کاهش پیدا میکند. همچنین مشخص شد این *microRNA* آپوپتوز سلول های زایا را به دنبال دارد که در نهایت منجر به ناباروری در افراد میشود (۱۵). همچنین گزارش شده که *miR34c* نقش تنظیمی مهمی در میوز، آپوپتوز سلول های زایا و تمایز سلول های بنیادین ایفا میکند (۱۶). در مطالعاتی گزارش شده که *miR15* نقش بسیار مهمی در فرایند اسپرماتوژنز دارد بنابراین تغییر در میزان این *miR* میتواند به ناباروری در مردان ختم شود. همچنین مشخص شده که افزایش بیان این *miR* از طریق تاثیر بر ژن *bcl2* موجب القای آپوپتوز شده و از این طریق بر قابلیت حیات اسپرم و سلامت DNA آن تاثیرگذار است (۱۷). در آزمایش دیگر نشان داده شد که افزایش

*miR15* موجب کاهش رشد جنین های حاصل از تزریق سیتوپلاسمی اسپرم میشود (۱۸). مطالعات مختلفی بیانگر این مسئله بودند که *miR15b* به طور مکرر در بیضه بیماران مبتلا به نارسایی اسپرم بیان میشود (۱۹). شواهد به دست آمده در این پژوهش نشان میدهد که میزان بیان *miR15b* در بیماران به طرز معناداری افزایش پیدا کرده و میزان بیان *miR34c* کاهش پیدا کرده است. با توجه به شواهد به دست آمده در این پژوهش و مطالعات انجام شده میتوان استنباط کرد که تغییر در بیان *microRNA*ها میتواند به تغییر در پروفایل بیانی ژنهای دخیل در فرایندهایی از جمله اسپرماتوژنز شود و از این طریق بر باروری افراد اثر گذار باشد. در این آزمایش این مسئله به اثبات رسید که میزان بیان *miR15b* در بیماران الیگواسستوتراتوزواسپرمی افزایش پیدا کرده است. پس میتوان نتیجه گرفت که بین میزان بیان این *miR* و پارامترهای اسپرمی رابطه عکس وجود دارد. میزان بیان *miR34c* در بیماران الیگواسستوتراتوزواسپرمی به شکل معناداری کاهش پیدا کرده بود پس میتوان نتیجه گرفت بین بیان این *miR* و پارامترهای اسپرمی رابطه مستقیم وجود دارد. با تغییر بیان *miR34c* و *miR15b* بیان ژنها دخیل در اسپرماتوژنز، ژنهای دخیل در بلوغ اسپرم ژنهای دخیل در قابلیت حیات اسپرم از جمله *bcl2* تغییر میکند. همچنین ممکن است بیان ژنهای دخیل در تمایز و رشد جنین نیز در اثر این تغییر بیان، تغییر کند. در نتیجه این تغییرات پروفایل بیانی و پروتئومی سلول تغییر میکند و بر پارامترهای اسپرمی از جمله غلظت اسپرم، تحرک، مورفولوژی نرمال و تاثیر میگذارد. پس میتوان این ادعا را مطرح کرد که تغییر در بیان *miR34c* و *miR15b* میتواند از طریق تغییر بر پارامترهای اسپرمی بر باروری افراد تاثیرگذار باشد. تغییرات اپی ژنتیکی

تاثیرگذار است. شواهد به دست آمده در این پژوهش نشان می‌دهد که ارتباط معنی داری بین بیان *miR15b* و *miR34c* و میزان آسیب DNA اسپرم وجود دارد. باتوجه به نقش *microRNA*ها بر بسته بندی صحیح کروماتین و همچنین بازسازی DNA اسپرم میتوان استنباط کرد که تغییر در پروفایل بیانی این *microRNA*ها موجب تغییر در بیان ژنهای پروتئین های دخیل در فرایند بسته بندی کروماتین از جمله *TPs* و *PRMs* می شود. تغییر در میزان این پروتئین ها داخل اسپرم موجب عدم بسته بندی صحیح کروماتین و در نتیجه آسیب DNA اسپرم و قطعه قطعه شدن آن می شود. آسیب DNA اسپرم به نوبه خود موجب کاهش قابلیت حیات اسپرم شده و ممکن است ناباروری فرد را به دنبال داشته باشد.

#### نتیجه گیری

کاهش بیان *miR34c* و افزایش بیان *miR15b* در اسپرم منجر به کاهش کیفیت اسپرم و افزایش میزان آسیب DNA اسپرم در افراد نابارور اولیگو آستنو تراتوزواسپرمی می شود. ارزیابی *miR34c* و ژن های مرتبط با آنها می تواند در آینده به عنوان ابزار تشخیصی مهمی در تشخیص ناباروری مردان باشد.

#### تشکر و قدردانی

بدینوسیله از پرسنل سخت کوش مرکز فوق تخصصی مرکز درمان ناباروری جهاد دانشگاهی قم که ما را در انجام این مطالعه یاری کردند، تشکر و قدردانی میشود.

#### تعارض منافع

نویسندگان مقاله تعارض در منافع ندارند.

عوامل مهم دیگری هستند که اسپرم زایی و باروری مردان را تنظیم می کنند. اپی ژنتیک تنظیم ژن را بدون هیچ تغییری در توالی DNA تنظیم می کند. این تغییرات شامل متیلاسیون DNA، تغییرات هیستون پس از ترجمه و بازآرایی کروماتین است (۲۰).

اصلاح هیستون یک تنظیم کننده کلیدی میتوز و اسپرم زایی است. برخی از مطالعات نشان داده اند که تغییرات غیرطبیعی هیستون در طی اسپرم زایی ممکن است منجر به آسیب شدید به رشد اسپرم و باروری مردان شود (۲۱). میلر و همکاران (۲۲)، نشان داد که بسته بندی نادرست DNA در اسپرم موش باعث ناباروری می شود. بسته بندی صحیح DNA برای اسپرم زایی طبیعی ضروری است زیرا تقریباً ۸۵ درصد هیستون ها توسط پروتامین ها در طول فرآیند اسپرم زایی جایگزین می شوند. با توجه به نقش حیاتی *PRM1* و *PRM2* در عملکرد طبیعی اسپرم و فرآیند لقاح، ناکافی بودن این پروتئین ها می تواند با کاهش مقدار پروتئین مربوطه مرتبط باشد که به نوبه خود باعث افزایش درصد اسپرم با ساختار کروماتین غیرطبیعی و DNA آسیب دیده می شود (۲۱). در مطالعات مختلفی دانشمندان به نقش *microRNA*ها بر سلامت DNA اسپرم پرداخته اند. به طور مثال در پژوهشی تاثیر مستقیم *mir-469* بر اسپرم زایی مورد بررسی قرار گرفت و در نهایت به این نتیجه رسیدند که *miR-469* از طریق تاثیر بر پروتئین های مختص بسته بندی کروماتین از جمله *TPs* و *PRMs* بر بازسازی و سلامت DNA اسپرم تاثیر میگذارد (۲۳).

در واقع *miR-469* از طریق سرکوب ترجمه پروتئین های *TPs* و *PRMs* بر سلامت DNA اسپرم

## فهرست منابع

1. Organization WH. Improving the quality and use of birth, death and cause-of-death information: guidance for a standards-based review of country practices. 2010.
2. Cooper TG, Noonan E, Von Eckardstein S, Auger J, Baker HG, Behre HM, et al. World Health Organization reference values for human semen characteristics. *Human reproduction update*. 2010;16(3):231-45.
3. Burgos C, Cikutovic R, Alarcon M. MicroRNA expression in male infertility. *Reproduction, Fertility and Development*. 2022.
4. Curry E, Safranski TJ, Pratt SL. Differential expression of porcine sperm microRNAs and their association with sperm morphology and motility. *Theriogenology*. 2011;76(8):1532-9.
5. Amanai M, Brahmajosyula M, Perry AC. A restricted role for sperm-borne microRNAs in mammalian fertilization. *Biology of reproduction*. 2006;75(6):877-84.
6. Agostini M, Knight RA. miR-34: from bench to bedside. *Oncotarget*. 2014;5(4):872.
7. Bouhallier F, Allioli N, Laval F, Chalmel F, Perrard M-H, Durand P, et al. Role of miR-34c microRNA in the late steps of spermatogenesis. *Rna*. 2010;16(4):720-31.
8. Abu-Halima M, Hammadeh M, Backes C, Fischer U, Leidinger P, Lubbad AM, et al. Panel of five microRNAs as potential biomarkers for the diagnosis and assessment of male infertility. *Fertility and sterility*. 2014;102(4):989-97. e1.
9. Yue J, Tigyi G. Conservation of miR-15a/16-1 and miR-15b/16-2 clusters. *Mammalian Genome*. 2010;21:88-94.
10. Ramaiah MJ. Functions and epigenetic aspects of miR-15/16: Possible future cancer therapeutics. *Gene Reports*. 2018 Sep 1;12:149-64.
11. Organization WH. World health statistics 2010: World Health Organization; 2010.
12. Belleannée C, Calvo E, Thimon V, Cyr DG, Légaré C, Garneau L, et al. Role of microRNAs in controlling gene expression in different segments of the human epididymis. *PloS one*. 2012;7(4):e34996.
13. Björkgren I, Gylling H, Turunen H, Huhtaniemi I, Strauss L, Poutanen M, et al. Imbalanced lipid homeostasis in the conditional Dicer1 knockout mouse epididymis causes instability of the sperm membrane. *The FASEB Journal*. 2015;29(2):433-42.
14. Tong MH, Mitchell DA, McGowan SD, Evanoff R, Griswold MD. Two miRNA clusters, Mir-17-92 (Mirc1) and Mir-106b-25 (Mirc3), are involved in the regulation of spermatogonial differentiation in mice. *Biology of reproduction*. 2012 Mar 1;86(3):72-1.
15. Comazzetto S, Di Giacomo M, Rasmussen KD, Much C, Azzi C, Perlas E, et al. Oligoasthenoteratozoospermia and infertility in mice deficient for miR-34b/c and miR-449 loci. *PLoS genetics*. 2014;10(10):e1004597.
16. Zhang S, Chen L, Jung EJ, Calin GA. Targeting microRNAs with small molecules: from dream to reality. *Clinical Pharmacology & Therapeutics*. 2010;87(6):754-8.
17. Tomic M, Bolha L, Pizem J, Ban-Frangez H, Vrtacnik-Bokal E, Stimpfel M. Association between Sperm Morphology and Altered Sperm microRNA Expression. *Biology*. 2022;11(11):1671.
18. Taheri H, Hosseini S, Salehi M. The relationship between Sperm DNA fragmentation and differential expression of human sperm pro-apoptotic miR-15a/16 and anti-apoptotic BCL-2 gene. *The Iranian Journal of Obstetrics, Gynecology and Infertility*. 2019;22(10):42-48.

**19.** Buñay J, Larriba E, Patiño-Garcia D, Urriola-Muñoz P, Moreno RD, Del Mazo J. Combined proteomic and miRNome analyses of mouse testis exposed to an endocrine disruptors chemicals mixture reveals altered toxicological pathways involved in male infertility. *MHR: Basic science of reproductive medicine*. 2019;25(3):156-69.

**20.** Shaoqin G, Zhenghui Z, Xueqian Z, Yuan H. Epigenetic modifications in human spermatozoon and its potential role in embryonic development. *Yi chuan= Hereditas*. 2014;36(5):439-46.

**21.** Rajender S, Avery K, Agarwal A. Epigenetics, spermatogenesis and male infertility. *Mutation Research/Reviews in Mutation Research*. 2011;727(3):62-71.

**22.** Miller D, Brinkworth M, Iles D. Paternal DNA packaging in spermatozoa: more than the sum of its parts? DNA, histones, protamines and epigenetics. *Reproduction*. 2010;139(2):287-301.

**23.** Pradeepa M, Manjunatha S, Sathish V, Agrawal S, Rao M. Involvement of importin-4 in the transport of transition protein 2 into the spermatid nucleus. *Molecular and cellular biology*. 2008;28(13):4331-41.



## The relationship between miR34c, miR15b, the quality of sperm parameters and sperm DNA damage rate in infertile oligoasthenoteratozoospermia men

Fatemeh Dehghani<sup>1</sup>, Fatemeh Tohidi<sup>1</sup>, Rahil Jannatifar<sup>2</sup>

1-Assistant professor, Department of Genetics, Faculty of Basic Sciences, Al Taha Institute of Higher Education, Tehran, Iran

2-Instructor, Department of Reproductive Biology, Academic Center for Education, Culture, and Research (ACECR), Qom Branch, Qom,

Received:2023.08. 22

Accepted: 2023.09.16

### Abstract

**Background & aim:** MiRNAs play an important role in various pathophysiological processes in cells and controlling the process of apoptosis in sperm. The aim of this study is to investigate the relationship between the expression of miR34c and miR15b, the quality of sperm parameters and the rate of sperm DNA breakage in oligoasthenoteratozoospermia infertile individuals.

**Materials & Methods:** This study was conducted on 25 patients with oligoasthenoteratozoospermia who had referred to Jihad University Infertility Treatment Center in Qom. 25 fertile people have been selected as the control group. After collecting sperm samples, sperm parameters were analyzed according to the World Health Organization (WHO 2010). The amount of sperm DNA breakage was checked using the SCD technique. The expression levels of miR34c and miR15b were measured using the Rael-time PCR technique.

**Results:** According to the obtained results, sperm parameters such as concentration, motility and morphology of sperm in infertile oligoasthenoteratozoospermia individuals show a significant decrease compared to fertile individuals ( $P<0.05$ ), and the rate of sperm DNA breakage in oligoasthenoteratozoospermia individuals increases. It was significant ( $P<0.05$ ). Correlation test revealed that there is a significant correlation between sperm variables including concentration, motility, normal morphology, sperm DNA breakage rate and the expression level of miR34c and miR15b.

**Conclusion:** Our findings showed that there is a significant relationship between the expression of miR34c, miR15b, sperm parameters and sperm DNA health. In fact, these results can provide new insights for the diagnosis of male infertility at the molecular level.

**Key words:** miR34c, miR15b, sperm, oligoasthenoteratozoospermia